

数值代数大作业报告

崔君玥 2100017794

1 问题描述

1.1 Stokes 方程

考虑 Stokes 方程

$$\begin{cases} -\Delta \vec{u} + \nabla p = \vec{F}, & (x, y) \in (0, 1) \times (0, 1), \\ \operatorname{div} \vec{u} = 0, & (x, y) \in (0, 1) \times (0, 1), \end{cases} \quad (1)$$

边界条件为

$$\begin{aligned} \frac{\partial u}{\partial \vec{n}} &= b, \quad y = 0, & \frac{\partial u}{\partial \vec{n}} &= t, \quad y = 1, \\ \frac{\partial v}{\partial \vec{n}} &= l, \quad x = 0, & \frac{\partial v}{\partial \vec{n}} &= r, \quad x = 1, \\ u &= 0, \quad x = 0, 1, & v &= 0, \quad y = 0, 1 \end{aligned}$$

其中 $\vec{u} = (u, v)$ 为速度, p 为压力, $\vec{F} = (f, g)$ 为外力, \vec{n} 为外法向方向。

1.2 交错网格上的 MAC 格式

下面我们用交错网格上的 MAC 格式离散 Stokes 方程 (1), 网格如图1所示。

关于 u 的方程:

(1) 当 $1 \leq i \leq N-1, 2 \leq j \leq N-1$,

$$-\frac{u_{i+1,j-\frac{1}{2}} - 2u_{i,j-\frac{1}{2}} + u_{i-1,j-\frac{1}{2}}}{h^2} - \frac{u_{i,j+\frac{1}{2}} - 2u_{i,j-\frac{1}{2}} + u_{i,j-\frac{3}{2}}}{h^2} + \frac{p_{i+\frac{1}{2},j-\frac{1}{2}} - p_{i-\frac{1}{2},j-\frac{1}{2}}}{h} = f_{i,j-\frac{1}{2}}$$

(2) 当 $1 \leq i \leq N-1 (j=1)$,

$$-\frac{u_{i,\frac{3}{2}} - u_{i,\frac{1}{2}}}{h^2} - \frac{b_{i,0}}{h} - \frac{u_{i+1,\frac{1}{2}} - 2u_{i,\frac{1}{2}} + u_{i-1,\frac{1}{2}}}{h^2} + \frac{p_{i+\frac{1}{2},\frac{1}{2}} - p_{i-\frac{1}{2},\frac{1}{2}}}{h} = f_{i,\frac{1}{2}}$$

(3) 当 $1 \leq i \leq N-1 (j=N)$,

$$\frac{u_{i,N-\frac{1}{2}} - u_{i,N-\frac{3}{2}}}{h^2} - \frac{t_{i,N}}{h} - \frac{u_{i+1,N-\frac{1}{2}} - 2u_{i,N-\frac{1}{2}} + u_{i-1,N-\frac{1}{2}}}{h^2} + \frac{p_{i+\frac{1}{2},N-\frac{1}{2}} - p_{i-\frac{1}{2},N-\frac{1}{2}}}{h} = f_{i,N-\frac{1}{2}}$$

(4) 当 $i=0$ 和 $i=N, 1 \leq j \leq N, u_{i,j-\frac{1}{2}} = 0$

关于 v 的方程:

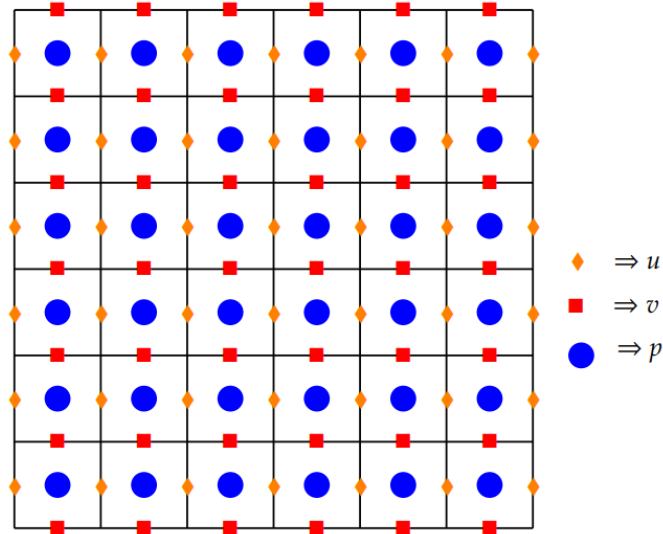


图 1: MAC 格式离散图示

(1) 当 $1 \leq j \leq N-1, 2 \leq i \leq N-1$,

$$-\frac{v_{i+\frac{1}{2},j} - 2v_{i-\frac{1}{2},j} + v_{i-\frac{3}{2},j}}{h^2} - \frac{v_{i-\frac{1}{2},j+1} - 2v_{i-\frac{1}{2},j} + v_{i-\frac{1}{2},j-1}}{h^2} + \frac{p_{i-\frac{1}{2},j+\frac{1}{2}} - p_{i-\frac{1}{2},j-\frac{1}{2}}}{h} = g_{i-\frac{1}{2},j}$$

(2) 当 $1 \leq j \leq N-1 (i=1)$,

$$-\frac{v_{\frac{3}{2},j} - v_{\frac{1}{2},j}}{h^2} - \frac{l_{0,j}}{h} - \frac{v_{\frac{1}{2},j+1} - 2v_{\frac{1}{2},j} + v_{\frac{1}{2},j-1}}{h^2} + \frac{p_{\frac{1}{2},j+\frac{1}{2}} - p_{\frac{1}{2},j-\frac{1}{2}}}{h} = g_{\frac{1}{2},j}$$

(3) 当 $1 \leq j \leq N-1 (i=N)$

$$\frac{v_{N-\frac{1}{2},j} - v_{N-\frac{3}{2},j}}{h^2} - \frac{r_{N,j}}{h} - \frac{v_{N-\frac{1}{2},j+1} - 2v_{N-\frac{1}{2},j} + v_{N-\frac{1}{2},j-1}}{h^2} + \frac{p_{N-\frac{1}{2},j+\frac{1}{2}} - p_{N-\frac{1}{2},j-\frac{1}{2}}}{h} = g_{N-\frac{1}{2},j}$$

(4) 当 $j=0$ 和 $j=N, 1 \leq i \leq N, v_{i-\frac{1}{2},j} = 0$ 。

不可压条件 ($1 \leq i \leq N, 1 \leq j \leq N$)

$$\frac{u_{i,j-\frac{1}{2}} - u_{i-1,j-\frac{1}{2}}}{h} + \frac{v_{i-\frac{1}{2},j} - v_{i-\frac{1}{2},j-1}}{h} = 0$$

将这些方程整理, 可得到如下线性代数方程组:

$$\begin{pmatrix} A & B \\ B^T & 0 \end{pmatrix} \begin{pmatrix} U \\ P \end{pmatrix} = \begin{pmatrix} F \\ 0 \end{pmatrix} \quad (2)$$

1.3 数值算例

在区域 $\Omega = (0,1) \times (0,1)$ 上, 外力为

$$f(x,y) = -4\pi^2(2\cos(2\pi x) - 1)\sin(2\pi y) + x^2,$$

$$g(x,y) = 4\pi^2(2\cos(2\pi y) - 1)\sin(2\pi x).$$

Stokes 方程 (1) 的真解为

$$\begin{aligned} u(x, y) &= (1 - \cos(2\pi x))\sin(2\pi y) \\ v(x, y) &= -(1 - \cos(2\pi y))\sin(2\pi x) \\ p(x, y) &= \frac{x^3}{3} - \frac{1}{12} \end{aligned} \quad (3)$$

由 (3), 可求得边界条件为

$$\begin{aligned} \frac{\partial u}{\partial \vec{n}} &= -2\pi(1 - \cos(2\pi x)), \quad y = 0 \\ \frac{\partial u}{\partial \vec{n}} &= 2\pi(1 - \cos(2\pi x)), \quad y = 1 \\ \frac{\partial v}{\partial \vec{n}} &= 2\pi(1 - \cos(2\pi y)), \quad x = 0 \\ \frac{\partial v}{\partial \vec{n}} &= -2\pi(1 - \cos(2\pi y)), \quad x = 1 \\ u &= 0, \quad x = 0, 1, \quad v = 0, \quad y = 0, 1 \end{aligned}$$

2 第 1 题

2.1 要求

分别取 $N = 64, 128, 256, 512, 1024, 2048$, 以 DGS 为磨光子, 用基于 V-cycle 的多重网格方法求解离散问题 (2), 停机标准为 $\|r_h\|_2 / \|r_0\|_2 \leq 10^{-8}$, 对不同的 ν_1, ν_2, L , 比较 V-cycle 的次數和 CPU 时间, 并计算误差

$$e_N = h(\sum_{j=1}^N \sum_{i=1}^{N-1} |u_{i,j-\frac{1}{2}} - u(x_i, y_{j-\frac{1}{2}})|^2 + \sum_{j=1}^{N-1} \sum_{i=1}^N |v_{i,j-\frac{1}{2}} - v(x_i, y_{j-\frac{1}{2}})|^2)^{\frac{1}{2}}$$

2.2 数值方法

2.2.1 DGS 迭代法

给定初始值 $U_0 = (u_0^T, v_0^T)$ 和 P_0 , 令 $k = 0, A = D_A - L_A - U_A$, DGS 迭代法定义如下:

1. 用 Gauss-Seidel 迭代方法更新速度分量

$$U_{k+\frac{1}{2}} = U_k + (D_A - L_A)^{-1}(F - BP_k - AU_k).$$

2. 对内部单元 (i, j) (四个顶点 $((i-1)h, (j-1)h), (ih, (j-1)h), (ih, jh), ((i-1)h, jh)$), $2 \leq i, j \leq N-1$, 计算散度方程的残量

$$r_{i,j} = -\frac{u_{i,j-\frac{1}{2}}^{k+\frac{1}{2}} - u_{i-1,j-\frac{1}{2}}^{k+\frac{1}{2}}}{h} - \frac{v_{i-\frac{1}{2},j}^{k+\frac{1}{2}} - v_{i-\frac{1}{2},j-1}^{k+\frac{1}{2}}}{h},$$

并令 $\delta = \frac{r_{i,j}h}{4}$

3. 更新内部单元速度:

$$\begin{aligned} u_{i-1,j-\frac{1}{2}}^{k+1} &= u_{i-1,j-\frac{1}{2}}^{k+\frac{1}{2}} - \delta, & u_{i,j-\frac{1}{2}}^{k+1} &= u_{i,j-\frac{1}{2}}^{k+\frac{1}{2}} + \delta, \\ v_{i-\frac{1}{2},j-1}^{k+1} &= v_{i-\frac{1}{2},j-1}^{k+\frac{1}{2}} - \delta, & v_{i-\frac{1}{2},j}^{k+1} &= v_{i-\frac{1}{2},j}^{k+\frac{1}{2}} + \delta. \end{aligned}$$

4. 更新内部单元的压力:

$$\begin{aligned} p_{i-\frac{1}{2},j-\frac{1}{2}}^{k+1} &= p_{i-\frac{1}{2},j-\frac{1}{2}}^k + r_{i,j}, \\ p_{i+\frac{1}{2},j-\frac{1}{2}}^{k+1} &= p_{i+\frac{1}{2},j-\frac{1}{2}}^k - r_{i,j}/4, \\ p_{i-\frac{3}{2},j-\frac{1}{2}}^{k+1} &= p_{i-\frac{3}{2},j-\frac{1}{2}}^k - r_{i,j}/4, \\ p_{i-\frac{1}{2},j+\frac{1}{2}}^{k+1} &= p_{i-\frac{1}{2},j+\frac{1}{2}}^k - r_{i,j}/4, \\ p_{i-\frac{1}{2},j-\frac{3}{2}}^{k+1} &= p_{i-\frac{1}{2},j-\frac{3}{2}}^k - r_{i,j}/4, \end{aligned}$$

5. 对边界单元 (i, N) , $2 \leq i \leq N-1$, 先计算散度的残量 $r_{i,N}$, 并令 $\delta = r_{i,N}h/3$ 。速度更新如下:

$$\begin{aligned} u_{i-1,N-\frac{1}{2}}^{k+1} &= u_{i-1,N-\frac{1}{2}}^{k+\frac{1}{2}} - \delta, u_{i,N-\frac{1}{2}}^{k+1} = u_{i,N-\frac{1}{2}}^{k+\frac{1}{2}} + \delta, \\ v_{i-\frac{1}{2},N-1}^{k+1} &= v_{i-\frac{1}{2},N-1}^{k+\frac{1}{2}} - \delta. \end{aligned}$$

6. 更新边界单元 (i, N) 的压力:

$$\begin{aligned} p_{i-\frac{1}{2},N-\frac{1}{2}}^{k+1} &= p_{i-\frac{1}{2},N-\frac{1}{2}}^k + r_{i,N}, \\ p_{i+\frac{1}{2},N-\frac{1}{2}}^{k+1} &= p_{i+\frac{1}{2},N-\frac{1}{2}}^k - r_{i,N}/3, \\ p_{i-\frac{3}{2},N-\frac{1}{2}}^{k+1} &= p_{i-\frac{3}{2},N-\frac{1}{2}}^k - r_{i,N}/3, \\ p_{i-\frac{1}{2},N-\frac{3}{2}}^{k+1} &= p_{i-\frac{1}{2},N-\frac{3}{2}}^k - r_{i,N}/3, \end{aligned}$$

7. 类似更新边界单元 (N, j) 和 $(1, j)$, $2 \leq j \leq N-1$, $(i, 1)$, $2 \leq i \leq N-1$ 的速度和压力。

8. 对顶点单元 $(1, 1)$, 计算散度残量 $r_{1,1}$ 。令 $\delta = r_{1,1}h/2$ 。更新速度如下:

$$u_{1,\frac{1}{2}}^{k+1} = u_{1,\frac{1}{2}}^{k+\frac{1}{2}} + \delta, \quad v_{\frac{1}{2},1}^{k+1} = v_{\frac{1}{2},1}^{k+\frac{1}{2}} + \delta.$$

更新压力如下:

$$\begin{aligned} p_{\frac{1}{2},\frac{1}{2}}^{k+1} &= p_{\frac{1}{2},\frac{1}{2}}^k + r_{1,1}, \\ p_{\frac{3}{2},\frac{1}{2}}^{k+1} &= p_{\frac{3}{2},\frac{1}{2}}^k + r_{1,1}/2, \\ p_{\frac{1}{2},\frac{3}{2}}^{k+1} &= p_{\frac{1}{2},\frac{3}{2}}^k + r_{1,1}/2. \end{aligned}$$

9. 对其他顶点单元 $(1, N)$, $(N, 1)$, (N, N) , 类似更新速度和压力。

2.2.2 V-cycle 多重网格方法

V-cycle 多重网格方法实现如下:

1. 在 Ω^h 上, 以 $u_h^{(0)}$ 为初值, 用 DGS 迭代法, 对 $A_h U_h = F_h$, 迭代 ν_1 次, 得到 $u_h^{(v_1)}$, 并计算残量

$$r_h = F_h - A_h u_h^{(v_1)}$$

2. 将残量限制到网格 Ω^{2h} 上, 即

$$F_{2h} = I_h^{2h} r_h$$

3. 重复上述过程至底层网格。此时可直接对残量方程进行求解。

4. 将得到的误差提升至上一层网格, 并用 Gauss-Seidel 迭代进行磨光, 迭代 ν_2 次, 得 $e_{(L-1)h}$ 。
5. 更新 $u_{(L-1)h}$ 为 $u_{(L-1)h} + e_{(L-1)h}$ 。
6. 重复步骤 4、5 直到回到网格 Ω^h 。
7. 如果满足误差条件, 则停止, 否则回到步骤 2。

2.3 具体算法实现

选取不同的 ν_1, ν_2, L , 以 DGS 迭代为磨光子的 V-cycle 多重网格对问题进行求解。

2.3.1 提升限制算子

提升限制算子选取方式如图2所示。

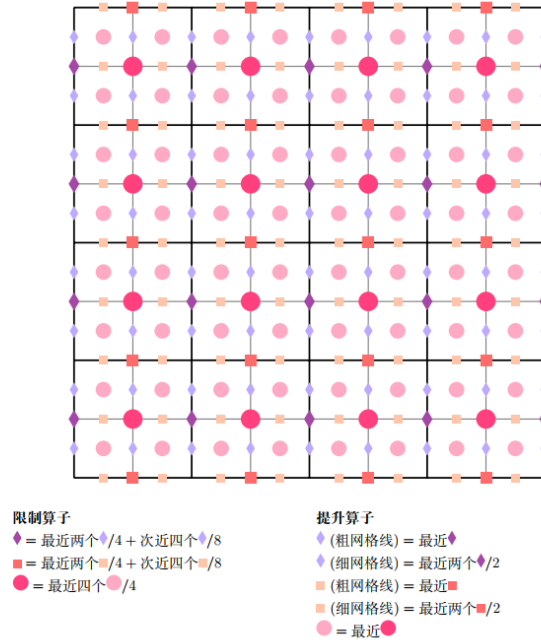


图 2: 提升限制算子

2.3.2 注意事项

1. 为提高程序运行速度, 减小内存及存储开销, 实现程序时不需要写出系数矩阵的显式表达式; U, P, F 等向量均用矩阵形式存储。
2. 对残量做提升或限制后, 若得到的新线性方程组不满足数值散度为 0 的条件, 此时散度方程的残量 $r_{i,j}$ 将变为

$$r_{i,j} = -\frac{u_{i,j-\frac{1}{2}}^{k+\frac{1}{2}} - u_{i-1,j-\frac{1}{2}}^{k+\frac{1}{2}}}{h} - \frac{v_{i-\frac{1}{2},j}^{k+\frac{1}{2}} - v_{i-\frac{1}{2},j-1}^{k+\frac{1}{2}}}{h} - d_{i,j}$$

3. 对方程组进行提升和限制不保系数矩阵结构, 实际应用中直接利用在粗网格上的 MAC 离散 Stokes 方程得到的系数矩阵去近似提升及限制后的矩阵。

2.4 计算结果

2.4.1 误差

误差 e_N 如表1所示。

	N=64	N=128	N=256	N=512	N=1024	N=2048
误差	0.0015	3.7363e-04	9.3399e-05	2.3349e-05	5.8396e-06	1.4714e-06

表 1: 误差 e_N

2.4.2 不同 DGS 磨光次数与底层网格大小的运行时间和 V-cycle 次数比较

表2至表7展示了选取不同的 ν_1, ν_2, L 时的运行时间及 V-cycle 次数。从表中我们可以读出, 选取不同的磨光次数及不同的底层网格大小运行次数均在个位数, 且运行时间相差不大。

	N=64	N=128	N=256	N=512	N=1024	N=2048
V—cycle 次数	6	6	6	5	5	5
CPU 时间 (秒)	0.212133	0.205928	0.630789	2.254966	10.121553	43.446935

表 2: $\nu_1 = 6, \nu_2 = 6$, 底层网格大小 2×2

	N=64	N=128	N=256	N=512	N=1024	N=2048
V—cycle 次数	6	6	5	5	5	5
CPU 时间 (秒)	0.064016	0.156057	0.517285	2.254574	10.480062	46.020121

表 3: $\nu_1 = 6, \nu_2 = 6$, 底层网格大小 4×4

	N=64	N=128	N=256	N=512	N=1024	N=2048
V—cycle 次数	7	7	7	7	7	6
CPU 时间 (秒)	0.065178	0.130780	0.457179	2.396664	10.514629	38.996714

表 4: $\nu_1 = 4, \nu_2 = 4$, 底层网格大小 2×2

	N=64	N=128	N=256	N=512	N=1024	N=2048
V—cycle 次数	7	7	7	7	7	6
CPU 时间 (秒)	0.110582	0.227080	0.782407	3.352778	13.334998	39.117965

表 5: $\nu_1 = 4, \nu_2 = 4$, 底层网格大小 4×4

	N=64	N=128	N=256	N=512	N=1024	N=2048
V—cycle 次数	9	9	9	9	8	8
CPU 时间 (秒)	0.081131	0.096096	0.462840	2.432169	9.264816	40.127316

表 6: $\nu_1 = 3, \nu_2 = 3$, 底层网格大小 2×2

	N=64	N=128	N=256	N=512	N=1024	N=2048
V—cycle 次数	9	9	9	9	8	8
CPU 时间 (秒)	0.105416	0.144569	0.498297	2.417746	9.212262	39.325369

表 7: $\nu_1 = 3$, $\nu_2 = 3$, 底层网格大小 4×4

3 第 2 题

3.1 要求

分别取 $N = 64\ 128\ 256\ 512$, 以 Uzawa Iteration Method 求解离散问题 (2), 停机标准为 $\|r_h\|/\|r_0\|_2 \leq 10^{-8}$, 并计算误差

$$e_N = h(\sum_{j=1}^N \sum_{i=1}^{N-1} |u_{i,j-\frac{1}{2}} - u(x_i, y_{j-\frac{1}{2}})|^2 + \sum_{j=1}^{N-1} \sum_{i=1}^N |v_{i,j-\frac{1}{2}} - v(x_i, y_{j-\frac{1}{2}})|^2)^{\frac{1}{2}}$$

3.2 数值方法

3.2.1 Uzawa Iteration Method

给定 P_0 , 令 $k = 0$, Uzawa Iteration Method 实现如下:

1. 求解 $AU_{k+1} = F - BP_k$;
2. 更新压力 $P_{k+1} = P_k + \alpha(B^T U_{k+1})$;
3. 判断误差是否小于允许的值: 如果小于, 则停止迭代, 否则回到第一步。

3.3 具体算法实现

3.3.1 参数的选取

因为

$$\begin{aligned} P_{k+1} &= P_k + \alpha(B^T A^{-1}(F - BP_k)) \\ &= (I - \alpha B^T A^{-1} B)P_k + \alpha B^T A^{-1} F \end{aligned}$$

因此, 关于压力的更新方法, 相当于下面的线性代数方程组

$$B^T A^{-1} B P = B^T A^{-1} F$$

的迭代格式。因而只需求解 α 使得谱半径 $\rho(I - \alpha B^T A^{-1} B)$ 最小。下证: 最优参数为

$$\alpha_* = \frac{2}{\lambda_{\min}(B^T A^{-1} B) + \lambda_{\max}(B^T A^{-1} B)}$$

任取 $I - \alpha B^T A^{-1} B$ 的特征值 λ , 设其对应的特征向量为 u , 则有

$$\begin{aligned} (I - \alpha B^T A^{-1} B)u &= \lambda u \\ \alpha B^T A^{-1} B u &= (1 - \lambda)u \end{aligned}$$

显然 $\alpha \neq 0$, 故

$$B^T A^{-1} B u = \frac{1 - \lambda}{\alpha} u$$

故 $\exists \mu$, μ 是 $B^T A^{-1} B$ 一特征值, *s.t.*

$$\lambda = 1 - \alpha \mu$$

故 $\rho(I - \alpha B^T A^{-1} B) = \max(|\lambda|) = \max(1 - \alpha \mu_{\min}, \alpha \mu_{\max} - 1)$

故 $1 - \alpha \mu_{\min} = \alpha \mu_{\max} - 1$, 即

$$\alpha = \frac{2}{\lambda_{\min}(B^T A^{-1} B) + \lambda_{\max}(B^T A^{-1} B)}$$

时, $\rho(I - \alpha B^T A^{-1} B)$ 取得最大值。因此最优参数为

$$\alpha_* = \frac{2}{\lambda_{\min}(B^T A^{-1} B) + \lambda_{\max}(B^T A^{-1} B)}$$

3.3.2 $B^T A^{-1} B$ 的特征值

下证 $B^T A^{-1} B$ 特征值只有 0, 1。

设

$$B^T A^{-1} B P = \lambda P$$

则

$$\begin{cases} AU + BP = 0 \\ -B^T U = \lambda P \end{cases}$$

A , B , $-B^T$ 可以看作离散形式的 Δ , ∇ , div 算子, 于是不妨考虑连续的特征值问题:

$$\begin{cases} -\Delta \vec{u} + \nabla \vec{p} = 0 \\ div \vec{u} = \lambda \vec{p} \end{cases}$$

故

$$\nabla div \vec{u} = \lambda \nabla \vec{u}$$

取 $\lambda = 0$, 得 $div \vec{u} = 0$ 。此时取 $U = 0$, P 可取任意所有元素均相等的向量。

又注意到严格成立

$$AB = BB^T B$$

因此

$$B^T B = B^T A^{-1} BB^T B$$

因此 $B^T A^{-1} B$ 的非零特征值都是 1。

考虑 $B^T A^{-1} B$ 的非零特征子空间, 可得最优参数 $\alpha = 1$ 。

3.4 数值结果

用 Uzawa Iterative Method 求解离散问题, 误差如表8所示。

	N=64	N=128	N=256	N=512
误差	0.0015	3.7363e-04	9.3398e-05	2.3349e-05

表 8: Uzawa Iterative Method 误差

4 第 3 题

4.1 要求

分别取 $N = 64, 128, 256, 512, 1024, 2048$ ，以 Inexact Uzawa Iteration Method 为迭代法求解离散问题 (2)，停机标准为 $\|r_h\|/\|r_0\|_2 \leq 10^{-8}$ ，其中以 V-cycle 多重网格方法为预条件子，利用共轭梯度法求解每一步的子问题 $AU_{k+1} = F - BP_k$ ，对不同的 $\alpha, \tau, \nu_1, \nu_2, L$ ，比较外循环的迭代次数和 CPU 时间，并计算误差

$$e_N = h(\sum_{j=1}^N \sum_{i=1}^{N-1} |u_{i,j-\frac{1}{2}} - u(x_i, y_{j-\frac{1}{2}})|^2 + \sum_{j=1}^{N-1} \sum_{i=1}^N |v_{i,j-\frac{1}{2}} - v(x_i, y_{j-\frac{1}{2}})|^2)^{\frac{1}{2}}$$

4.2 数值方法

4.2.1 Inexact Uzawa Iteration Method

给定 P_0 ，令 $k = 0$ ，Inexact Uzawa Iteration Method 实现如下：

1. 近似求解 $AU_{k+1} = F - BP_k$ ，得到近似解 \hat{U}_{k+1} ；
2. 更新压力 $P_{k+1} = P_k + \alpha(B^T \hat{U}_{k+1})$ ；
3. 判断误差是否小于允许的值：如果小于，则停止迭代，否则回到第一步。

4.2.2 V-cycle 为预优子的预优共轭梯度法

用 V-cycle 作为预条件子的预优共轭梯度法实现如下：

1. 取 x 为初值，计算残量 $r = b - Ax$ 。
2. 使用 V-Cycle 多重网格方法对预条件方程组 $Mz = r$ 进行求解，其中 M 为预处理矩阵， z 是修正后的残差向量。磨光子取为对称 Gauss-Seidel 迭代法。
3. 计算初始搜索方向 $p_0 = z_0$ ，其中 z_0 是初始修正后的残量。
4. 在每次共轭梯度法迭代中执行以下步骤：
 - * 计算步长 $\alpha_k = \frac{r_k z_k}{p_k A p_k}$ 。
 - * 更新解向量 $x_{k+1} = x_k + \alpha_k p_k$ 。
 - * 更新残量 $r_{k+1} = r_k - \alpha_k A p_k$ 。
 - * 求解预处理方程组 $Mz_{k+1} = r_{k+1}$ 以计算新的修正后误差 z_{k+1} 。
 - * 计算新的搜索方向 $p_{k+1} = z_{k+1} + \beta_k p_k$ ，其中 $\beta_k = \frac{r_{k+1} z_{k+1}}{r_k z_k}$ 。
5. 迭代停止条件：达到允许误差，或达到允许最大迭代次数。

4.2.3 对称迭代方法

设 B 为 A 的近似逆，给定初始值 x_0 ，对称迭代格式如下：

$$\begin{aligned} x_{k+\frac{1}{2}} &= x_k + B(b - Ax_k) \\ x_{k+1} &= x_{k+\frac{1}{2}} + B^T(b - Ax_{k+\frac{1}{2}}) \end{aligned}$$

4.3 具体算法实现

本题算法实现细节如下：

1. 预优矩阵取为 $M = A$ 。
2. 终止条件的选取
 - * V-cycle 的终止条件取为 $\|r\|_2/\|r_0\|_2 < e - 03$;
 - * 预优共轭梯度法终止条件取为 $k \geq k_{max} \text{ or } \|r\|_2 < \max(\epsilon * \|r_0\|_2, \tau \|B^T \vec{U}_k\|)$, 其中 k_{max} 取为矩阵阶数, ϵ 取为 $1e-08$;
 - * Inexact Uzawa Method 终止条件取为 $\|r\|_2/\|r_0\|_2 < e - 03$ 。
3. 对称迭代方法取为 Gauss-Seidel 的对称迭代方法。

4.4 数值结果

4.4.1 误差

用 Inexact Uzawa Iterative Method 求解离散问题, 误差如表9所示。

	N=64	N=128	N=256	N=512	N=1024	N=2048
误差	0.0015	3.7363e-04	9.3397e-05	2.3347e-05	5.8354e-06	1.4575e-06

表 9: Inexact Uzawa Iterative Method 误差

4.4.2 不同参数比较

对不同的 α , τ , ν_1 , ν_2 , L , 外循环的迭代次数和 CPU 时间如表10至表19所示。

	N=64	N=128	N=256	N=512	N=1024	N=2048
外循环次数	2	2	2	2	2	2
CPU 时间 (秒)	0.234493	0.295032	0.872711	4.564005	18.978371	80.828009

表 10: $\alpha = 1$, $\tau = e - 05$, $\nu_1 = 2$, $\nu_2 = 2$, 底层网格 2×2

	N=64	N=128	N=256	N=512	N=1024	N=2048
外循环次数	2	2	2	2	2	2
CPU 时间 (秒)	0.127421	0.302889	0.854379	4.331761	19.654733	82.002355

表 11: $\alpha = 1$, $\tau = e - 05$, $\nu_1 = 2$, $\nu_2 = 2$, 底层网格 4×4

	N=64	N=128	N=256	N=512	N=1024	N=2048
外循环次数	2	2	2	2	2	2
CPU 时间 (秒)	0.172624	0.280932	0.935304	5.071924	22.581911	103.139609

表 12: $\alpha = 1$, $\tau = e - 05$, $\nu_1 = 4$, $\nu_2 = 4$, 底层网格 2×2

	N=64	N=128	N=256	N=512	N=1024	N=2048
外循环次数	2	2	2	2	2	2
CPU 时间 (秒)	0.145699	0.412698	1.435906	7.079350	27.566616	100.523872

表 13: $\alpha = 1$, $\tau = e - 05$, $\nu_1 = 4$, $\nu_2 = 4$, 底层网格 4×4

	N=64	N=128	N=256	N=512	N=1024	N=2048
外循环次数	2	2	2	2	2	2
CPU 时间 (秒)	0.112782	0.253037	1.015662	5.087129	22.373364	93.457376

表 14: $\alpha = 1$, $\tau = e - 03$, $\nu_1 = 4$, $\nu_2 = 4$, 底层网格 2×2

	N=64	N=128	N=256	N=512	N=1024	N=2048
外循环次数	2	2	2	2	2	2
CPU 时间 (秒)	0.197762	0.388130	1.214423	6.337482	28.952573	133.803458

表 15: $\alpha = 1$, $\tau = e - 03$, $\nu_1 = 4$, $\nu_2 = 4$, 底层网格 4×4

	N=64	N=128	N=256	N=512	N=1024	N=2048
外循环次数	6	6	6	6	5	5
CPU 时间 (秒)	0.325266	0.800684	2.448431	11.104839	48.841570	203.387731

表 16: $\alpha = 0.95$, $\tau = e - 05$, $\nu_1 = 2$, $\nu_2 = 2$, 底层网格 2×2

	N=64	N=128	N=256	N=512	N=1024	N=2048
外循环次数	6	6	6	5	5	5
CPU 时间 (秒)	0.300489	0.751684	2.481188	10.745040	48.987020	203.002153

表 17: $\alpha = 0.95$, $\tau = e - 05$, $\nu_1 = 2$, $\nu_2 = 2$, 底层网格 4×4

	N=64	N=128	N=256	N=512	N=1024	N=2048
外循环次数	2	2	2	2	2	2
CPU 时间 (秒)	0.154322	0.382055	1.459680	7.106257	33.153454	143.538705

表 18: $\alpha = 1$, $\tau = e - 05$, $\nu_1 = 6$, $\nu_2 = 6$, 底层网格 2×2

	N=64	N=128	N=256	N=512	N=1024	N=2048
外循环次数	2	2	2	2	2	2
CPU 时间 (秒)	0.280457	0.556637	1.954146	14.621913	58.864457	223.541275

表 19: $\alpha = 1$, $\tau = e - 05$, $\nu_1 = 6$, $\nu_2 = 6$, 底层网格 4×4